

京都大学防災研究所

正会員 芦田 和男

四

○奥村 武信

京都大学大学院

学生員 田中 健二

1 概説 斜面浸食は、斜面勾配・土質・砂れきの粒度分布・地被状態などの斜面条件と、それ加えられる降雨条件との相互關係によつて支配さるが、その現象は複雑であつて、浸食量を適確算定式は未だ求められていない。しかしながら、WASH LOAD の生産源は主として裸光斜面の浸食よると言われてあり、この面から斜面浸食量の推定は極めて重要な問題であるとともに、最近大いに宅地造成などの開発による土砂流出の問題と関連して、その重要性は増大している。

筆者らは、以上の観点から、斜面の浸食量を水理学的に算定しようとする立場から研究を進めているが、そのためには、斜面上の流水の分布を詳細に追求しなければならないと考えている。とくに、斜面浸食過程との関連において流水の分布を調べることが重要である。なぜならば、斜面上の流れが一様に分布する場合と、ガリが形成されて流水の偏りが生じる場合とでは、浸食力にいちじるしい差異があらわれ、それがまたガリの発達と密接な関係を有するからである。

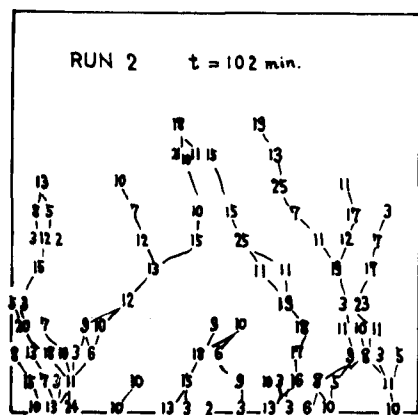
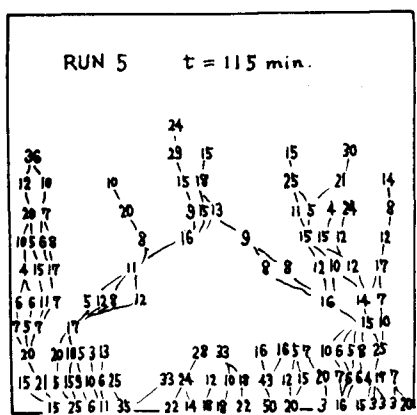
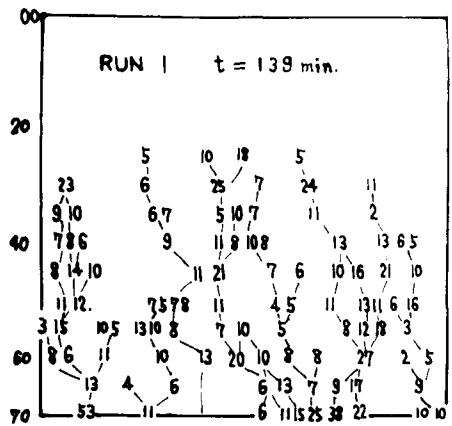
さらに、斜面上の流れに及ぼす降雨の影響、水深が砂粒子の大きさと同程度の薄い流れにおける抵抗則や流砂量式など、浸食量を水理学的に算定するにあたって解明すべき多くの問題がある。

上述した諸点は粘着性材料と非粘着性材料とでは大きく異なると考えられるが、ここではまず、非粘着性材料の場合を取り上げて若干の実験的研究を行なった。

2 実験装置と方法 実験は $7^m \times 7^m$ のコンクリート
枠の中に、勾配 $22/100$ の不透水面をつくり、その上に
平均粒径 $d_m = 1.45^m$ の川砂を厚さ 30cm 敷き込んで
斜面に人工降雨

を与えて行なつ
た。斜面の下流
端は、コンクリ
ートブロックで
おさえた。斜面
からの流出量の
時間的、場所的
変化を測定する
ために横断方向

図-1 流路の分布と流路中



に7区分して量水槽を設置し、またこれに対応する流出土砂量を測定するために、同様に集砂箱を設置した。実験はRUN-1からRUN-5の5回で、それぞれの時間雨量および継続時間は、64~77mmおよび108~120minである。各RUNは、先のRUNによって形成された斜面をそのままにして、これに引続いて行なった。測定項目は、流路の位置とその中、流速などの斜面上の流れの状態の時間的場所的变化、流出量の時間的場所的变化および斜面の浸食量ならびに流出土砂量である。

3 流路の分布と流路中 図-1に流路の分布と流路中(図中の数字cm)を示す。RUN-2から、中央部分に冲積扇状地とでもいべき形態の堆積がおこり、流水は両翼に集中している。また堆積部の浸透水がSECTION 60で湧水はじめた。このような堆積・湧出は斜面の下流端を不透過性の材料であさえているための境界条件の影響であると考える。

さきに述べたように、流水の集中の程度が斜面の浸食過程を大きく左右するものと考えられる。流水の集中過程に関する理論的解析は今後に行なうとして、ここでは実験的に検討しよう。筆者らは、流水の集中の程度をあらわす指標として、流水中(b)と斜面全幅(B)との比をとり、その時間的場所的变化を調べた。その結果は、図-2のとおりである。b/BとしてSHEET FLOWの部分を考慮していないために、流水中には一見下流ほど増大しているが、実際はSEC. 40付近より上流ではSHEET FLOWが存在しており、図に示したものよりは広い。また、SEC. 55付近より下流で流路幅が広くなっているのは、下流端の境界条件によるものと考えられる。こうした領域を除くと、 b/B の値は0.1~0.2に収束している。斜面長とともにこの値がどのように変化するかについては、さらに検討を要するが、さきの実験でもこれに近い値が得られている¹⁾ことは興味深い。

今後、ガリ密度およびその分布などが時間的場所的にどのように変化するかについて検討を進めていきたい。

4 斜面流の抵抗係数 斜面にはたらく浸食力を表す水理量としては摩擦速度 U_* が適当であるが、この値を計算するためには、降雨条件下での急勾配の薄層流の抵抗則についての検討が必要である。実験斜面で得た水理量から流れのレーリー数 Re と抵抗係数 f を計算し、両者の関係を図-3に示した。測定値は誤差に基づくバラツキが大きいが、かなり大きな f 値をもつてゐることは注目に値する。また Re 数の増加に伴なう f 値の減少傾向を示してゐるし、降雨の影響によって降雨のない場合は f 値はかなり増大している。なお、この降雨による漸変流の抵抗係数については、WOOとBRATERが詳細な検討を行なっているが²⁾、彼等の実験範囲は、勾配が0~0.06の緩傾斜であり、 Re 数が25~

図-2 流路中の変化

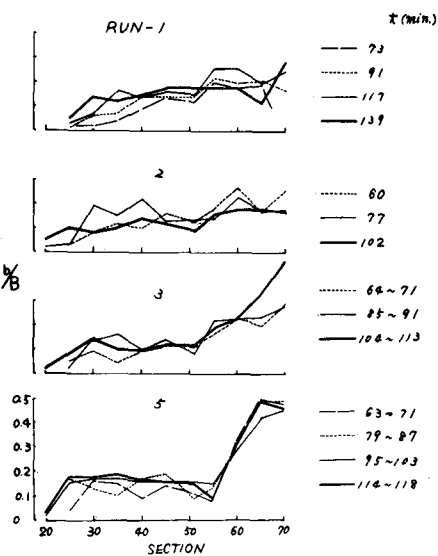
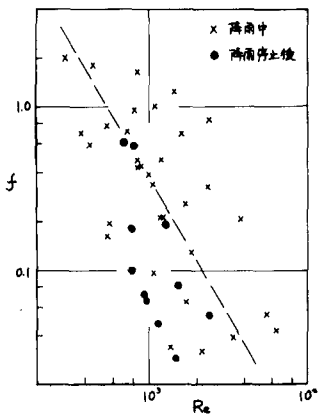


図-3 Re と f との関係



206と層流領域にあるもので、そのまゝ筆者らが対象としているような流れに拡張できるか否かを検討することを今後の課題としていた。さらに、水深にはば等しい粒径の流砂が存在したばあいに、流れの抵抗則がずいぶん異なるであらうことも考えられるので、この点を加味した検討も必要になろう。

5 斜面浸食量と流出土砂量 斜面浸食量を考えるばあいには、まず浸食力に対して斜面がもつ抵抗力が問題となる。現実の斜面では、被覆とか土壤のもつ粘性とかささざまの立地条件が関与してくるが、ここで取り扱っている非粘性性物質のばあいには限界摩擦速度 U_{*c} で表わしうる。しかしながら、 U_{*c} に関する従来の研究成果を、急勾配で、かつ水深と粒径とが同程度の薄層流にそのまま適用するこことは困難である。こゝうち、 U_{*c} に対する勾配の影響は、簡単な考察から次式で表わしうる。¹⁾

$$\frac{U_{*c}(\theta)}{U_{*c}(0)} = \left\{ \cos \theta - \frac{\gamma}{\gamma-1} \cdot \frac{\sin \theta}{\tan \theta} \right\}^{1/2} \quad (1)$$

ここに $U_{*c}(\theta)$ 、 $U_{*c}(0)$ ；それぞれ勾配 θ° および 0° の場合の限界摩擦速度、 $\gamma = \rho/g$ 、
④；砂の静止摩擦角

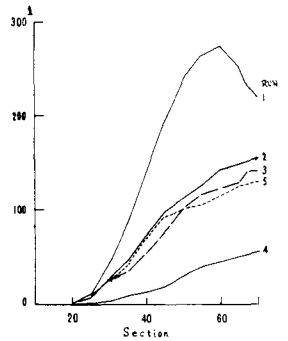
けれども、薄層流の場における U_{*c} の問題については、今後詳細な検討が必要である。

つぎに、斜面浸食量を RUN 前後ににおける斜面の横断測量から求め、各断面を通過した土砂量の形を示したのが図-4 である。これを見ると、境界条件の影響による堆積は、図-2 では SEC.50 程度まであったのに對し、SEC.60 までにしか、しかも RUN-1 でしかあこっていないことになるが、これは計算過程で砂の空隙率を地山でも堆積でも同じ値入=0.37 を使用したことによるものであって、實際にはかなりの大きさになる空隙率の差を考慮するならば、SEC.50 ないし 55 から 70 に至る間の通過土砂量の増減は多少緩和されることになる。すなわち、RUN 2, 3, 4 において SEC.50 ないし 55 から下流では通過土砂量の増加ではなく、SEC.50 ないし 55 を通過した土砂量と流出土砂量とはばあく、
新しいと考えられる。一方、SEC.50 ないし 55 より上流における流砂量は、斜面流下方に向て単調な増加を示している。なお、この計算による斜面からの流出土砂量と実測値との間に、かなりのくいちがいがあったが、その原因についてはいまのところ判然としない。

斜面からの浸食土砂量あるいは流出土砂量は、流送可能な土砂量が十分に予されうる斜面では、斜面下流端における U_{*c} によって支配される。 U_{*c} と流砂量の関係については、すでに多くの流砂量公式が提案されているが、それらはいずれも、ここで扱うとする流れとはまことに異なる条件のもとでの実験から得られたものであって、斜面の浸食問題にそのまま適用可能か否かは検討を要する。場合によつては、まったく新しい流砂量式が必要となる。ここでは、実験斜面における流出土砂量の実測値と流砂量式による計算値を比較して、既応流砂量式のこの問題に関する適合性について検討しよう。

さきに述べたように、斜面からの流出土砂量と SEC.55 における流砂量とは大差がない。また SEC.60 以下では浸透水の湧出による影響があり、この断面で流砂量の計算値を求めるこことはあつかい。そこで SEC.55 における水理量を用いて、芦田・道上の流砂量式(2) によって流砂量を算出し、斜

図-4 断面通過土砂量
の縦断的変化



面下流端の採砂箱で得た流出土砂量と比較する。比較はRUN 2, 3, 5, 斜面の両端各2mについて行なう。

$$\bar{Q} = \frac{g_B}{\sqrt{(\rho/\rho-1)gd_m}} = 17 T_{*e}^{1/2} \left(1 - \frac{T_{*c}}{T_*}\right) \left(1 - \frac{U_{*c}}{U_*}\right) \quad (2)$$

ここに, g_B ; 単位あたりの掃流砂量 ($\text{cm}^3/\text{sec}/\text{cm}$)

T_{*e} ; 有効掃流力の無次元表示量で, ここで $T_{*e} = T_* = U_*^2 / (\rho/\rho-1)gd_m$ とする。

SECTION 5m における表流水量はつきの式で推定する。

$$Q = Q_0 - (P \Delta A + KWDI) \quad (3)$$

ここに, Q_0 ; 量水セキにおける流量, P ; 降雨量, ΔA ; SEC. 55 からセキまでの面積,

K ; 砂の透水係数 = 0.045 cm/sec, W ; 浸透水が斜面の平均傾斜方向に流れる
と考えて量水槽の中, D ; 透水層の平均厚 = RUN終了時の砂層の平均厚さ
 I ; 水頭勾配 = RUN前後の斜面の平均勾配の平均である。

$$\text{さて}, f = 8(U_*/U)^2 = 8gI(B/Q)^2 R^2 \quad (4)$$

であるから, f をきめれば, 径深尺を計算できる。その値としては, 図-3 の破線で示す関係から求められるものと, 平均的な値 0.4 を与える。また, U_{*c} は岩垣式によつて計算した値式(1)で補正した。

以上手順で計算した g_B に, 実測の流路中を乘じ, 計算時英間にあひては g_B は単調に増減していくと仮定して時間積分した。

表-1 流砂量の比較

結果は表-1 に示すように, 計算値は実測値に比べてかなり大きいが, $f = 0.4$ での計算値は 2~3 倍程度である。なお, 混合砂の影響が現われアーマーコートが形成されているかどうかについて, EGIAZAROFF の式により検討したところ, アーマーコートの形成限界の U_{*c} = 13.3 は本実験での U_{*c} をはるかに下まわっており, その影響はないものと考えられる。

RUN	実測値	計算値	
		$f = 0.4$	$f = 0.6$
2-0	110	339	713
3-0	94	225	1070
5-0	135	422	1010
2-7	144	303	893
3-7	160	196	708
5-7	145	277	664

この計算手順には種々の仮定が含まれているし, また f 値の精度もよくないことを考えると, その程度の相違はやむを得ず, エレクトロニクスの適合性をもつと言ふべきかも知れない。しかし, 流砂量算定の精度をさらに向上させることが必要である, そのためには, 斜面上の流れと, このような場合における流砂量式について, なお詳細な検討が必要である。

5 まことに 以上は非粘着性材料で掃流力にみあうだけ十分な土砂の賦与がある砂斜面の浸食における基礎的な問題を考察したものであつて, たゞこれらの問題が解明しつくされたとしても, 現実の斜面へ直ちに適用できるものではなく, なほ多くの要素が加わってくることは言うまでもないが, さしあたつて, ここに抽出した問題の解明に努めたいと考えている。

参考

- 1) 芦田・奥村・田中, 斜面浸食に関する実験的研究; 47年度関西支部年次講演会講演集
- 2) D.C.Woo, E.F.Bratton, Spatially varied flow from controlled rainfall; J of A.S.C.E. 1962 HY-6.